

적용 관측자 및 구성에 관한 실험적 연구  
On a Experimental Study of Adaptive Observer Design

장	세	훈	한	양	대	학	고
이	순	영	한	양	대	학	고
김	기	원*	한	양	대	학	고

1. 서 론

적용관측자는 Luenberger 관측자와는 달리 입력력정보만을 이용 하여 플랜트의 미지 파라미터 뿐만 아니라 추정 불가능한 상태를 연속적으로 추정할 수 있다.

Carroll 과 Lindorff (2)는 Lyapunov 직접법을 이용하여 적용관측자를 구성하는 방법을 처음으로 제안하였으며 Kreisselmeir (4)는 적용관측자를 파라미터 추정과정과 상태추정과정으로 분리하여 구성하면 수렴속도를 보다 더 빠르게 할 수 있음을 보였다.

또한 Nuyan 과 Carroll (9)은 상태변수 필드 출력들의 선형조합으로 표현되는 대수방정식을 써서 적용관측자를 구성할 수 있음을 보였다.

본 논문에서는 마이크로 컴퓨터를 사용하여 직접 적용관측자를 구성하여 보는데 그 목적을 두었다.

이에 본 논문에서는 적응직을 구하는 데 있어서 상태 추정과정과 파라미터 식별과정을 분리 시킴으로써 그 수렴복성을 빠르게 하였다.

또한 파라미터 추정시에 사용되었던 필드들의 출력들을 관측자 구성시에 직접 사용함으로써 전체 계의 구조를 간단히 하였다.

위와 같이 하여 적용관측자를 구성시킨 결과 만족할 만한 실험결과를 얻었다.

2. 본 론

파라미터 식별  
다음과 같은 플랜트를 생각한다.

$$G_p(z) = \frac{y_p(z)}{u(z)} = \frac{b_1 z^{n-1} + b_2 z^{n-2} + \dots + b_m}{z^n + a_1 z^{n-1} + \dots + a_n} \quad (1)$$

$$\triangleq \frac{b_p(z)}{a_p(z)}$$

여기서  $a = [a_1, a_2, \dots, a_n]^T$ ,  $b = [b_1, b_2, \dots, b_m]^T$  는 미지 파라미터 벡터이며  $a_p(z)$ 는  $b_p(z)$ 와 서로 소인 관계를 만족하는 안정한 다항식이다.

이제 다음과 같은 성질을 만족하는 안정한 다항식  $f(z)$  를 가정한다.

- a.  $f(z) = z^n + f_1 z^{n-1} + \dots + f_n = \prod_{j=1}^m (z + \lambda_j)$
- b.  $\lambda_j$ 는 플랜트의 극점 및 영점과는 다르다.
- c.  $\lambda_j = \lambda_i$ ,  $i \neq j$  ( $j = 1, 2, \dots, m$ )
- d.  $\lambda_j$ 는 단위원 내에 존재한다.

위에서 가정한  $m$ 차인 임의의 다항식  $f(z)$  로 (1)식에서 주어진 플랜트의 분모 및 분자를 나누어  $y_p(k)$ 의 식으로 정리하면 다음과 같이 된다.

$$y_p(k) = \alpha^T R(k) + b^T w(k) + \delta(k) \quad (2)$$

$$R(k+1) = FR(k) + h y_p(k)$$

$$w(k+1) = Fw(k) + h u(k)$$

여기서  $F = \begin{bmatrix} -f_1 & -f_2 & \dots & -f_m & & \\ & 1 & 0 & \dots & \dots & 0 \\ & 0 & \dots & \dots & \dots & \vdots \\ & & & & & 0 \\ & 0 & \dots & \dots & 0 & 1 & 0 \end{bmatrix}$ ,  $h^T = [1, 0, \dots, 0]$

(2)식과 같은 형태로 파라미터 추정을 위한 식별 모델을 다음과 같이 구성시킨다.

$$\hat{y}(k) = \hat{\alpha}_1^T R_1(k) + \dots + \hat{\alpha}_m^T R_m(k) + \hat{b}_1^T w_1(k) + \dots + \hat{b}_m^T w_m(k)$$

$$= \hat{\alpha}^T R(k) + \hat{b}^T w(k) \quad (3)$$

위 식에서  $\hat{\alpha}^T$ 와  $\hat{b}^T$ 는 적응직에 의해 결정되는 가변 파라미터 벡터이다.

이제 (2)식과 (3)식으로 부터 플랜트의 출력과

식별 모델 사이의 출력오차는 다음과 같이 구해진다.

$$e(k) = \hat{y}(k) - y_p(k) = \phi^T(k)\theta(k) - \tilde{\alpha}^T F^k \theta(0) \quad (4)$$

$$\text{여기서 } \phi(k) = [(\hat{\alpha} - \alpha)^T (\hat{b} - b)^T]^T,$$

$$\theta(k) = [R^T(k) \omega^T(k)]^T, \quad \tilde{\alpha} = [\alpha^T b^T]^T$$

이제 파라미터 추정은  $k \rightarrow \infty$  에 따라  $\hat{\alpha}(k) \rightarrow \alpha$ ,  $\hat{b}(k) \rightarrow b$  가 되도록 하는 적응칙을 구하는 문제로 집약된다.

적응칙을 구하기 위하여 다음과 같은 평가함수를 생각한다.

$$J = \frac{1}{2} e^T(k) [\theta^T(k) \theta(k)]^{-1} \quad (5)$$

$\phi(k)$  에 대한 gradient 를 구하여 적응칙을 구하면 다음과 같이 된다.

$$\phi(k+1) = \phi(k) + [-G\theta(k)\theta^T(k)\phi(k) + G\theta(k)\tilde{\alpha}^T A^k \theta(0) - [\theta^T(k)\theta(k)]^{-1} \phi(k) - G\theta(k)e(k)] \hat{\alpha}(k) \quad (6)$$

### 관측자의 구성

앞에서 추정한 파라미터들을 사용하여 상태관측자를 구성한다.

(1)식의 플랜트는 다음과 같은 Luenberger 관측자로 표현할 수 있다.

$$\begin{aligned} \dot{X}(k+1) &= F^T X(k) + g y_p(k) + b u(k) \\ &= \begin{bmatrix} \vdots & I_{m-1} \\ -f_1 & \vdots \\ \vdots & 0 \end{bmatrix} X(k) + g y_p(k) + b u(k) \end{aligned} \quad (7)$$

여기서  $f = [f_1 \ f_2 \ \dots \ f_m]$  이며, 이는 앞에서 정의한  $f(z)$  의 계수 벡터이므로 이미 알고 있는 값이며  $g$  는  $\alpha$  와 같은 값을 갖는 미지의 파라미터 벡터이다.

이제 다음과 같은 방정식에 의해 플랜트의 상태를 추정한다고 가정한다.

$$\hat{X}(k) = M_1 R(k) + M_2 \omega(k) \quad (8)$$

여기서  $R(k)$  와  $\omega(k)$  는 앞에서 정의한 신호이다.

$$\begin{aligned} \hat{X}(z) &= M_1 (zI - F)^{-1} h y_p(z) \\ &\quad + M_2 (zI - F)^{-1} h u(z) + \hat{\alpha}(z) \end{aligned} \quad (9)$$

또 (7) 식의 플랜트의 상태는 다음과 같이 표현된다.

$$X(z) = (zI - F)^{-1} g y_p(z) + (zI - F)^{-1} b u(z) + \delta(z) \quad (10)$$

그런데  $g$  는  $\alpha$  와 같은 값이므로  $\alpha$  의 추정치는  $\hat{\alpha}$  로 대체되며  $b$  는  $\hat{b}$  로 대체된다.

(9) 식과 (10) 식은  $k \rightarrow \infty$  에 따라 같은 값을 가져야 하므로  $M_1$  과  $M_2$  는 Cayley-Hamilton

정리(8)를 이용하여 다음과 같이 구해진다.

$$\begin{aligned} M_1 &= [\hat{\alpha}^T F \hat{\alpha} \dots F^{m-1} \hat{\alpha}] [h \ F h \dots F^{m-1} h]^{-1} \\ M_2 &= [\hat{b}^T F \hat{b} \dots F^{m-1} \hat{b}] [h \ F h \dots F^{m-1} h]^{-1} \end{aligned} \quad (11)$$

이러한 방법에 의한 적응관측자의 구성도는 아래의 그림 1과 같다.

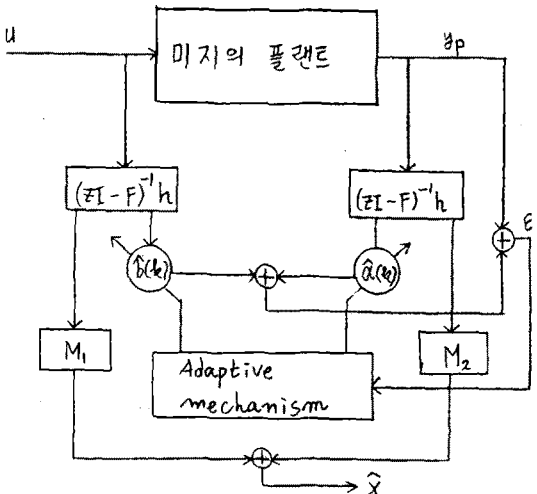


그림 1. 적응관측자의 구성도

이상의 결과를 바탕으로 실제 적응관측자를 구성시켜 보았다.

실험하는데 있어서 플랜트는 아날로그 시뮬레이터로 구성하였으며 APPLE-2 마이크로 컴퓨터를 사용하여 적응관측자를 구성하였다. 아날로그 시뮬레이터와 마이크로 컴퓨터 사이의 정보 교환은 D/A Converter 와 A/D Converter 를 이용하였다.

### 3. 결 론

본 논문에서는 적응관측자 구성시 적응속도를 빠르게 하기 위하여 파라미터 추정과정과 상태 추정과정을 분리하였으며 또한 파라미터 추정시에 사용되는 상태변수 필터를 직접 상태추정시에도 사용할 수 있게끔 하여 전체적인 구조를 간단히 하였다. 이러한 구성방법의 효용성 및 타당성을 입증하기 위해 마이크로 컴퓨터로 적응관측자를 직접 구성하여 실험하여 본 결과 만족할만한 결과를 얻었다.

그러나 계통의 응답속도가 매우 빠르게 되면, 계통의 응답속도와 마이크로 컴퓨터의 계산시간이

입지하지 않아 정확한 추정을 할 수 없었다.  
응답속도가 빠른 계통에 대해서는 좀 더  
연구되어야 하겠다.

참 고 문 헌

1. Y.D.Landau; "Adaptive Control-The Reference Approach", Marcel Dekker Inc., 1979.
2. R.L.Carroll & D.P.Lindorff; "An Adaptive Observer for SISO Linear Systems", IEEE Trans. Auto. Contr., vol.AC-18, pp.428-435, Oct. 1973.
3. K.S.Narendra & P.Kudva; "Stable Adaptive Schemes for System Identification and Control-Part 2", IEEE Trans. Auto. Contr. System, Man, and Cybernetics, vol.SMC-4, pp.542-560, Nov. 1974.
4. G.Kreisselmeier; "Adaptive Observers with Exponential Rate of Convergence", IEEE Trans. Auto. Contr., vol.AC-22, Feb. 1977.
5. C.C.Hang; "A New Form of Stable Adaptive Observer", IEEE Trans. Auto. Contr., pp.544-547, Aug. 1976.
6. K.Ichikawa; "Continuous Time Adaptive Identification and Control Algorithms via Newly Developed Adaptive Laws", Int.J.Control, vol.36, pp.819-831, 1982.
7. P.Kudva & K.S.Narendra; "An Identification Procedure for Discrete Multivariable Systems", IEEE Trans. Auto. Contr. vol.AC-19, pp.549-552, 1974.
8. C.T.Chen; "Introduction to Linear System Theory", Holt, Rinehart & Winston, Inc., New York, 1970.
9. S.Nuyan & R.L.Carroll; "Minimal Order Arbitrary fast Adaptive Observers and Identifiers", IEEE Trans. Auto. Contr., vol.AC-24, pp. 289-296, Apr. 1979.
10. T.Suzuki & T.Nakamura & M.Koga; "Discrete Adaptive Observer with fast Convergence", Int.J.Contr., vol.31, pp.1107-1119, 1980.
11. S.Tamaki & S.Omatu & A.Kikuchi & T.Soeda; "Design of a Discrete Adaptive Observer based on Lyapunov's Direct Method", Int.J. Systems.Sci., vol.12, pp.473-484, 1981.